

شواهد پتروگرافی، ژئوشیمیایی و ایزوتوپی آلایش پوسته‌ای در بازالت‌های منطقه جواهردشت (شرق گیلان)

شهر روز حق نظر: دانشگاه آزاد اسلامی واحد لاهیجان

سارا ملکوتیان: دانشگاه آزاد اسلامی واحد دماوند

خلیل اللهیاری: دانشگاه شهیدبهبشتی

سعید تاکی: دانشگاه آزاد اسلامی واحد لاهیجان

چکیده

بازالت‌های جواهردشت در دامنه شمالی البرز واقع در شرق گیلان برونزد چشمگیری دارند. شواهد پتروگرافی، ژئوشیمیایی و ایزوتوپی نشان از آلایش این بازالت‌ها با پوسته قاره‌ای دارد. شواهد پتروگرافی از قبیل: خوردگی خلیجی و حاشیه‌های مضرس در فنوکریست‌های پیروکسن و متفاوت بودن ترکیب شیمیایی حاشیه فنوکریست‌های کلینوپیروکسن با کلینوپیروکسن‌های خمیره به سبب آلایش پوسته‌ای و عدم تعادل و تغییر ترکیب خمیره نسبت به فنوکریست‌های از قبل تشکیل شده در سنگ ایجاد شده است. فقر در عناصری چون Zr ، Nb ، TiO_2 ، P_2O_5 و غنی شدگی از عناصر LIL و نسبت‌های فراوان Pb/Nd و Ba/Nb و محتوی اندک Zr/Nb ، Y/Nb ، Ce/Pb و همبستگی مثبت SiO_2 با $^{87}Sr/^{86}Sr$ و همچنین همبستگی مثبت ϵNd با MgO از شواهد ژئوشیمیایی و ایزوتوپی آلایش پوسته‌ای این بازالت‌ها است. بررسی‌های ما نشان می‌دهد که این بازالت‌ها دارای تعادل عنصری شاخصی با سنگ‌های پوسته زیرین و میانی هستند و با آن‌ها آلایش یافته‌اند.

مقدمه

مسئله آلودگی پوسته‌ای، از جمله فرایندهای درگیر در تفریق ماگماهای اولیه است، که ماگماهای تشکیل شده در ناحیه منشأ گوشته‌ای را ضمن صعود تحت تأثیر قرار می‌دهد. ترکیب ماگماهای اولیه نشأت گرفته از گوشته بر اثر برهمکنشی با مواد پوسته‌ای در طی صعود، از نظر ژئوشیمیایی مورد تغییر و تعدیل قرار می‌گیرند. این تغییرات باعث می‌شود که بررسی خصوصیات ناحیه منشأ و محاسبات مربوط به درجه ذوب بخشی و حتی تعیین محیط ژئودینامیکی تشکیل را که بر اساس نمونه‌های اولیه و بدون آلایش بنیان‌گذاری شده‌اند، با مشکل و دشواری مواجه سازد. در بررسی‌های ایزوتوپی نیز باید متوجه نقش آلایش پوسته‌ای بود؛ زیرا ماگماهای بازالتی که از میان پوسته قاره‌ای فوران می‌کنند ممکن است با سنگ‌های پی سنگ غنی از $^{87}Sr/^{86}Sr$ تأثیر متقابل داشته باشند و در نتیجه ترکیبات ایزوتوپی آن‌ها را نمی‌توان به ویژگی‌های گوشته منشأ نسبت داد [۱].

واژه‌های کلیدی: بازالت‌های جواهردشت، آلایش پوسته‌ای، ایزوتوپ‌های Sr و Nd، ژئوشیمی، پتروگرافی

پدیرش ۸۸/۷/۲۷

دریافت ۸۷/۶/۲۰

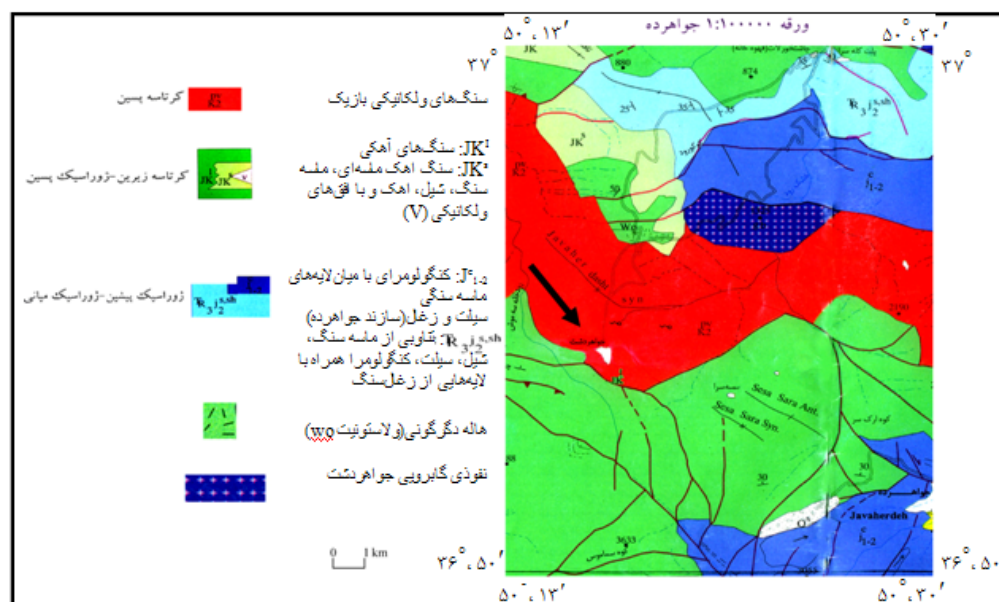
بنا بر این اثبات و نقش آلودگی‌های پوسته‌های ماگماها و تعیین این موضوع که ماگماهای بازالتی در حال صعود تا چه حد و با کدام پوسته برهمکنش و آلایش داشته‌اند در بررسی‌های ژئوشیمیایی و ژئودینامیکی بازالت‌های فوران یافته در جای‌گاه‌های میان‌صفحه‌ای قاره‌ای اهمیت ویژه دارد. بررسی علائم ژئوشیمیایی و ایزوتوپی سنگ‌ها، اجازه شناسایی ترکیب گشته و فرآیندهایی چون آلایش پوسته‌های را به ما می‌دهد. همه بازالت‌های قاره‌ای و بیش‌تر سنگ‌های جزایر اقیانوسی (OIB) الگوهای عناصر کم‌یاب غنی شده را نشان می‌دهند. این غنی‌شدگی از عناصر ناسازگار به وسیله نفوذهای متاسوماتیکی یا مذاب‌های سیلیکاته - کربناته به‌وجود آمده و یا به وسیله پذیرش اجزای غنی شده مثل پوسته قاره‌ای یا لیتوسفر با استنوسفر و مواد گشته‌های فقیر شده توضیح داده می‌شوند [۲]. پذیرش اجزای غنی شده مثل پوسته قاره‌ای به وسیله استنوسفر و مواد گشته‌ای می‌تواند به غنی‌شدگی از عناصر کم‌یاب کمک کند، اما پیش از هر چیز این موضوع با مشخصات ایزوتوپی احراز هویت می‌شود [۲]. در این پژوهش ما به کمک علائم ژئوشیمیایی و ایزوتوپی بازالت‌های جواهر دشت، مسئله آلایش این بازالت‌ها را با پوسته قاره‌ای، بررسی و اثبات می‌کنیم.

موقعیت جغرافیایی و زمین‌شناسی منطقه

روستای بیلاقی جواهر دشت در ۴۵ کیلومتری جنوب شرق شهرستان رودسر واقع در شرق گیلان و در موقعیت ۵۳'، ۳۶° و عرض شمالی و ۵۳'، ۵۰° طول شرقی قرار گرفته است (شکل ۱). محدوده پژوهش در گوشه شمال شرقی ورقه ۱:۱۰۰۰۰۰ جواهرده [۳] بین طول‌های جغرافیایی ۱۳'، ۵۰° و ۳۰'، ۵۰° شرقی و ۵۰'، ۳۶° و ۳۷°، ۰۰' شمالی در بخش غربی زون البرز مرکزی و در دامنه شمالی آن واقع شده است. به لحاظ سنی بیش‌تر رخمون‌های سنگی منطقه متعلق به دوران مزوزوئیک، و برون‌زد غالب سنگ‌های آذرین منطقه، توده‌های ماگمایی گابرویی و بازالتی به سن کرتاسه است [۳]. پژوهش‌های پتروگرافیکی صورت گرفته بر روی بازالت‌های منطقه جواهر دشت نشان می‌دهد که این سنگ‌ها دارای تنوع ترکیبی بین اولیوین بازالت‌ها، اولیوین بازالت‌های آندزیتی، آندزیت‌های بازالتی و آندزیت‌های بازالتی کوآرتزدار هستند.

روش بررسی

از بخش‌های مختلف توده بازالتی جواهر دشت با توجه به تنوع لیتولوژیکی، مجموعاً در حدود ۵۰ مقطع میکروسکوپی تهیه و بررسی پتروگرافی شد. سپس عناصر اصلی و جزئی موجود در ۱۲ نمونه از بازالت‌های جواهر دشت در آزمایشگاه XRF (MAGIX-PRO) سازمان زمین‌شناسی کشور تجزیه شدند (جدول ۱).



شکل ۱. بخشی از گوشه شمال شرقی ورقه ۱:۱۰۰۰۰۰ جواهرده که منطقه پژوهش در روی آن واقع شده است

مقادیر نسبت‌های ایزوتوپی $^{87}\text{Sr}/^{86}\text{Sr}$ و $^{143}\text{Nd}/^{144}\text{Nd}$ پنج نمونه از بازالت‌های جواهردهشت نیز در آزمایشگاه ایزوتوپی دانشگاه کارلتون اوتاوا در کشور کانادا تجزیه و اندازه‌گیری شدند (جدول ۲).

شواهد پتروگرافیکی آلایش پوسته‌ای بازالت‌های جواهردهشت

بررسی‌های پتروگرافی ما نشان می‌دهد که بافت غالب بازالت‌های منطقه، پورفیریک با خمیره میکروولیتی و بافت گومروپورفیریک (تجمعی) و گاه پورفیریک با خمیره اینترگرانولار است. فنوکریست‌های کلینوپیروکسن موجود در این سنگ‌ها از نوع تیتان اوژیت است که بعضی از آن‌ها دارای ساختمان منطقه‌ای متحدالمرکز (زونینگ) بوده (شکل ۲) به نحوی که یک حاشیه قهوه‌ای متمایل به بنفش در آن‌ها بخوبی مشخص است (شکل ۳ و ۴). این حاشیه در نتیجه اضافه شدن Ti و Al به سبب کاهش فشار و عمق ساخته می‌شود [۲] و بر پایه واکنش ناقص با باقی‌مانده مذاب در حال تغییر ترکیب قابل تفسیر است.

نکته قابل توجه، خوردگی خلیجی و حاشیه مضرس در این تیتان اوژیت‌ها است. این موضوع نشان دهنده حالت عدم تعادل بین ترکیب شیمیایی فنوکریست و خمیره سنگ است (شکل ۴). از سوی دیگر، در خمیره این سنگ‌ها نیز دانه‌های کلینوپیروکسن دیده می‌شود که به صورت پورفیریک ترتیبی (serial porphyritic) تقسیم شده‌اند به نوعی که تدریجاً از فنوکریست‌های دانه درشت به بلورهای دانه‌ریز خمیره تبدیل می‌شوند. با توجه به حاشیه غنی از Ti فنوکریست‌های کلینوپیروکسن، باید انتظار داشت که پیروکسن‌های خمیره از نظر ترکیبی

سرشار از Ti باشند. اما مقادیر اندک TiO_2 (حدود یک درصد و کمتر) در این سنگ‌ها که در بررسی ژئوشیمیایی نیز به آن اشاره می‌شود، نشان‌دهنده این موضوع است که احتمالاً بعد از تشکیل فنوکریست‌های پیروکسن، آلایش پوسته‌ای، سبب افت مقدار TiO_2 در کل سنگ شده و باعث گردیده است که ترکیب خمیره تغییر کند و پیروکسن‌های خمیره فقیر از Ti شدند. دلیل پتروگرافیکی این موضوع غیرهم‌رنگ بودن پیروکسن‌های خمیره با حاشیه فنوکریست‌های پیروکسن است.

حاشیه‌های مضرس و خوردگی خلیجی موجود در فنوکریست‌های پیروکسن احتمالاً به دلیل عدم تعادل ناشی

آلایش پوسته‌ای و تغییر ترکیب خمیره نسبت به فنوکریست‌های موجود در سنگ ایجاد شده‌اند.

جدول ۱. نتایج تجزیه شیمیایی (XRF) بازالت‌های جواهردشت

نمونه	J-B-16	J-B-25	J-B-13	J-B-8	J-B-10	J-B-3	J-B-5	J-B-22	J-B-17	J-B-2	J-B-4	J-B-27
SiO ₂	48.29	48.30	48.77	52.28	48.24	49.02	45.98	49.69	48.23	50.22	46.17	48.63
Al ₂ O ₃	15.42	13.34	17.69	15.39	15.87	16.11	12.54	15.34	12.67	14.16	13.13	15.05
Fe ₂ O ₃	11.92	12.21	11.02	11.28	11.69	12.15	12.27	11.49	11.63	11.43	11.78	13.54
MgO	4.89	7.73	4.61	4.76	6.44	3.75	9.42	4.79	8.94	6.57	8.76	4.25
CaO	8.91	8.57	9.37	6.49	9.51	8.56	10.27	8.13	9.30	9.67	11.08	8.72
Na ₂ O	2.25	2.25	2.35	2.39	2.64	2.33	1.70	1.94	2.20	2.10	1.82	2.84
K ₂ O	2.43	1.87	1.70	2.29	0.82	3.27	1.70	3.39	1.73	2.47	1.59	2.16
MnO	0.13	0.13	0.11	0.13	0.12	0.13	0.14	0.14	0.14	0.12	0.13	0.15
TiO ₂	1.10	1.18	0.97	0.97	0.94	1.17	0.78	0.98	1.03	0.95	0.84	1.19
P ₂ O ₅	0.35	0.22	0.24	0.22	0.22	0.36	0.28	0.29	0.38	0.21	0.23	0.28
Mg [#]	46.1	55.8	45.8	44	51.7	37.5	60.5	44	61.1	53.3	60	38.4
L. O. I.	3.34	3.69	2.68	3.3	3.05	2.58	4.23	3.45	3.11	1.77	3.94	2.87
Sn	2.4	2.4	2.3	2.7	2.3	2.2	2.5	2.2	2.0	2.5	2.1	2.2
Th	2.2	<2	3.9	<2	2.9	<2	2.1	<2	4.0	<2	<2	<2
V	259.2	232.8	221.9	205.8	203.2	242.1	226.3	236.6	200.5	245.0	248.8	268.2
Nb	12.9	11.1	10.2	13.5	12.5	13.5	7.6	11.7	12.1	8.5	6.0	13.3
Ba	357.1	540.0	391.7	499.3	253.5	375.8	269.0	398.8	298.3	388.4	290.5	380.1
Ce	40.2	48.4	37.5	51.0	31.9	35.9	35.1	38.3	33.0	39.3	32.0	35.0

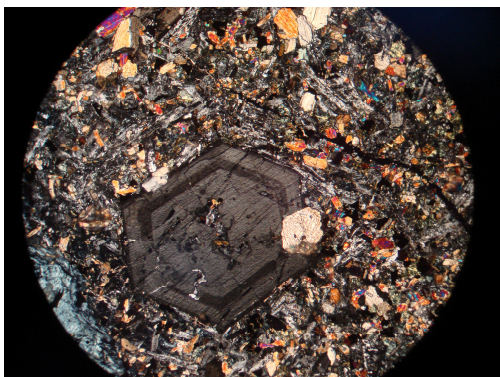
ادامه جدول ۱

Hf	7.2	5.5	4.6	8.8	4.4	<4	4.6	7.2	8.1	11.3	8.5	5.8
Pb	8.4	9.2	8.1	17.7	7.8	8.2	8.1	10.1	7.8	7.8	8.2	8.6
Nd	37.0	43.7	7.3	18.2	15.0	31.2	28.0	11.4	22.1	18.2	12.6	38.9
Ni	<5	8.0	<5	6.9	<5	<5	129. 4	12.9	118. 2	35.5	115. 5	<5
Rb	39.8	59.2	51.1	71.8	28.9	71.4	39.3	69.1	48.7	50.9	43.8	39.3
Sr	600. 2	579. 2	817. 2	594.1	715. 9	687.9	509. 7	642. 6	513. 3	639.5	568. 3	612.1
Y	31.0	31.7	29.5	37.9	24.7	34.3	27.0	34.2	31.4	30.2	27.6	30.3
Cr	28.8	92.3	15.7	<10	41.5	<10	307. 8	46.9	221. 3	141.0	328. 7	19.5
Zr	140. 9	131. 8	153. 6	158.3	151. 8	154.3	114. 0	153. 3	135. 6	137.4	117. 5	148.1
Tb	1.1	1.1	1.1	1.1	1.1	1.1	1.1	1.1	1.1	1.1	1.1	1.2
Ta	<5	<5	<5	<5	<5	<5	<5	<5	<5	<5	<5	<5
Eu	<3	<3	<3	<3	<3	<3	<3	<3	<3	<3	<3	<3
Sc	27.5	30.5	26.5	25.1	29.3	27.6	29.1	27.0	26.5	31.2	32.3	26.6
Cu	123. 4	83.1	112. 5	54.9	47.6	134. 8*	120. 8	125. 8	97.1	141. 1*	124. 9	148. 7*
Co	37.7	41.1	35.0	30.4	38.0	38.9	42.2	33.9	37.0	38.0	39.7	43.9
Zn	86.1	117. 6	97.9	247. 5*	80.0	99.1	88.1	104. 0	94.5	97.9	83.5	114.8
Cs	<5	<5	<5	<5	<5	<5	<5	<5	<5	<5	<5	<5
Ga	19.9	19.8	21.9	23.0	20.8	21.1	19.2	21.6	21.9	20.7	18.3	19.9
Mo	<5	<5	<5	<5	<5	<5	<5	<5	<5	<5	<5	<5

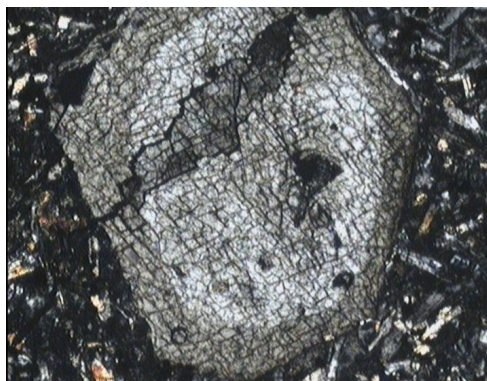
* : بیش‌تر از بالاترین حد قابل اندازه‌گیری

جدول ۲. نتایج تجزیه ایزوتوپی Nd و Sr بازالت‌های جواهردشت

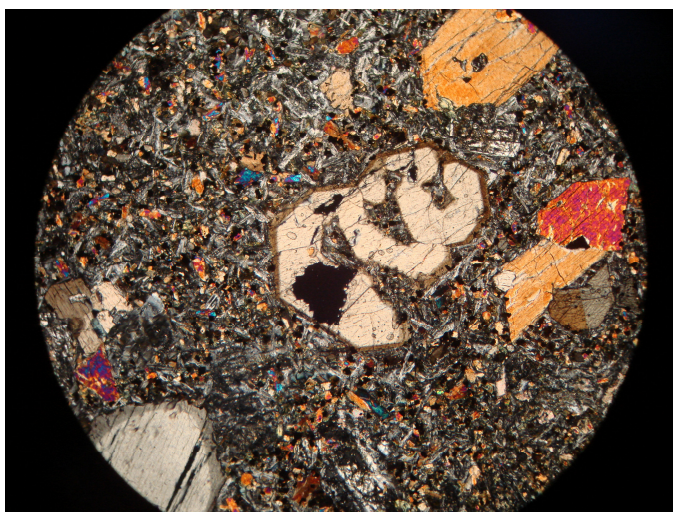
Sample	$^{87}\text{Sr}/^{86}\text{Sr}$	2-sigma	$^{143}\text{Nd}/^{144}\text{Nd}$	2-sigma
J-B-2	0.704482	0.000010	0.512660	0.000009
J-B-3	0.704648	0.000010	0.512692	0.000009
J-B-4	0.704225	0.000010	0.512727	0.000008
J-B-8	0.705387	0.000011	0.512517	0.000008
J-B-25	0.704856	0.000012	0.512688	0.000008
NBS987	0.710254	0.000011		
La Jolla			0.511848	0.000006



شکل ۲. نمایی از ساختار منطقه‌ای متحدالمرکز در بلور خودشکل تیتان اوژیت



شکل ۳. نمایی از حاشیه قهوه‌ای متمایل به بنفش در بلور تیتان اوژیت



شکل ۴. نمایی از خوردگی خلیجی در بلور تیتان اوژیت

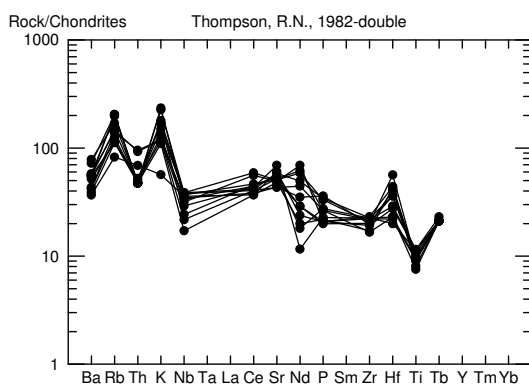
شواهد آلایش پوسته‌ای از طریق بررسی الگوی دیاگرام‌های چندعنصری عناصر ناسازگار

از نمودارهای چندعنصری عناصر ناسازگار به‌منظور درک رژیم‌های تکتونیکی و تحولات ماگمایی در بازالت‌ها به‌طور گسترده استفاده می‌شود [۱]، [۴]، [۵].

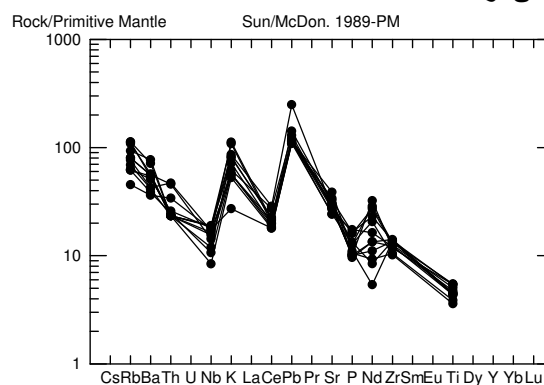
در شکل ۵ و ۶ الگوی فراوانی عناصر ناسازگار بازالت‌های جواهردشت که نسبت به کندریت [۴] و گوشته اولیه [۶] به‌هنگار شده‌اند، نشان داده شده است. غنی‌شدگی از عناصر LIL یعنی Ba ، Rb ، K ، Pb و تهی‌شدگی واضحی در Nb ، Ti ، Ce و P در نمودارها دیده می‌شود. در بدو امر تهی‌شدگی عناصر ناسازگار با محتوی اندک نسبت به عناصر مجاور خود و با آنومالی منفی نسبت به مرجع گوشته‌ای یا کندریتی، حاصل حفظ آن عناصر در فازهای باقی مانده در ناحیه منشأ و غنی‌شدگی و آنومالی‌های مثبت نتیجه ذوب‌بخشی و رها شدن از فازهایی از گوشته با محتوی زیاد این عناصر و رفتار ناسازگار آن‌ها تفسیر می‌شود. این موضوع به‌ضرب

توزیع عناصر نسبت به فازهای گوشته بستگی دارد [۲].

همچنین آلایش پوسته‌ای و هضم می‌تواند آنومالی‌های مثبت یا منفی نسبت به مراجع به‌هنگار شده ایجاد کند که این موضوع در رابطه با سنگ‌های بازالتی منطقه جواهر دشت مشاهده می‌شود [۱]، [۷]. به عقیده رولینسون [۸] آنومالی منفی Nb شاخص سنگ‌های قاره است و نشان‌دهنده شرکت پوسته در فرآیندهای ماگمایی است. فقر Nb در پوسته قاره‌ای ممکن است به دو دلیل باشد: اول آن‌که Nb مانند Ti معمولاً در کانی‌های تیتان دارو آمفیبول در پوسته فرورنده شده باقی می‌ماند و مانع ورود آن به مذاب و فرآیندهای بعدی پوسته‌سازی می‌شود [۹] و دوم آن‌که Nb فقط به کمک مذاب‌های سیلیکاته حمل می‌شود؛ نه به وسیله محلول‌های فرورانشی [۱۰]، این موضوع حتی بیک منفی در آندزیت‌ها را توضیح می‌دهد [۲]. هر چند آنومالی‌های منفی Nb و Ti خاص مناطق فرورانش [۱۱]، [۱۲] و آنومالی‌های مثبت آن‌ها خاص مناطق کششی و ریفتی [۱]، [۱۳] است، اما در بازالت‌های تحولی مناطق ریفتی [۱] و بازالت‌های طغیانی قاره‌ای [۱۴] نیز آنومالی منفی Nb و Ti دیده می‌شود.



شکل ۵. الگوی فراوانی عناصر ناسازگار بازالت‌های جواهر دشت به‌هنگار شده با کندریت [۴]

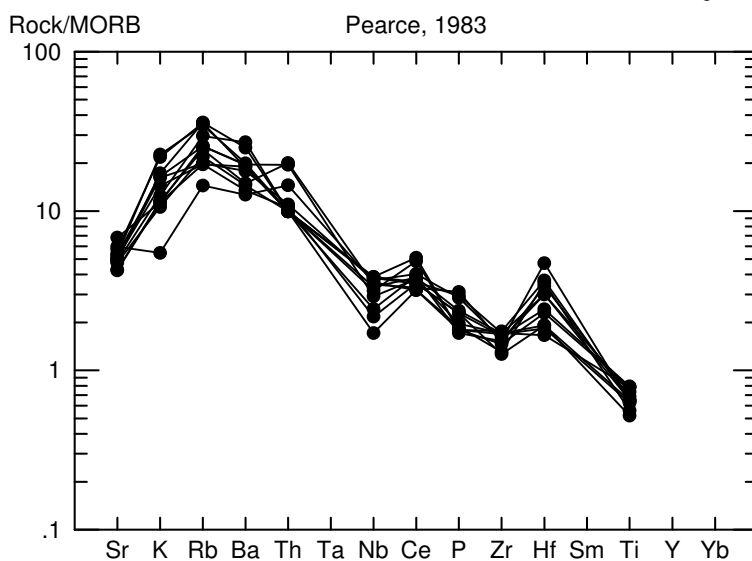


شکل ۶. الگوی فراوانی عناصر ناسازگار بازالت‌های جواهر دشت به‌هنگار شده با گوشته اولیه [۶]

به عقیده کاکس و هاکس ورث [۷] آنومالی منفی Nb در بسیاری از بازالت‌های طغیانی قاره‌ای و ریفتی به دو دلیل ممکن است ایجاد شود؛ اول: آلایش پوسته و دوم: وجود یک فاز باقی مانده از Nb در محل منشأ. از سوی دیگر، آنومالی منفی Ti شاخصه تیپیک سنگ‌های پوسته‌ای و نشان‌دهنده دخالت پوسته در تحولات ماگمایی است [۱۵]. به عقیده ویلسون [۱] باید میزان TiO_2 را معیاری کاملاً حساس به آلودگی در نظر گرفت. فقر Ti در بسیاری از بازالت‌های قاره‌ای به درجات بالا ذوب بخشی و آلایش پوسته‌ای نسبت داده شده است [۱]، [۶].

در شکل ۷ الگوی فراوانی عناصر ناسازگار بازالت‌های جواهر دشت که نسبت به مقادیر مورب [۵] به‌هنگار شده‌اند نشان داده شده است. چنان‌که ملاحظه می‌شود، بازالت‌های جواهر دشت از تمامی طیف عناصر ناسازگار

به‌غیر از Ti نسبت به MORB غنی شده‌اند. فقر Ti در مقایسه با بازالت‌های N-MORB قابل توجه است. خود بازالت‌های N-MORB در نتیجه درجات بالای ذوب بخشی از منابع تهی شده به وجود آمده و مقادیر Ti در آن‌ها اندک و به‌طور میانگین ۷۶۰۰ ppm [۶] است. در حالی که مقادیر میانگین Ti در بازالت‌های جواهردشت در حدود ۶۰۰۰ ppm است. این موضوع به دلیل آلایش ماگمای بازالتی با مواد پوسته‌ای بوده است؛ یعنی ماگمای مادر اولیه این بازالت‌ها حاوی مقادیر بسیار زیادتری از TiO_2 بوده است. حضور درشت بلورهای تیتان اوزیت با حاشیه‌ی بنفش بیان‌گر غنی بودن ماگمای اولیه (قبل از آلایش) از TiO_2 بوده و تبلور آن‌ها مربوط به قبل از آلایش پوسته‌ای است. خوردگی خلیجی و حاشیه‌ی مضرس و عدم وجود کلینوپیروکسن‌های غنی از Ti در خمیره سنگ دلالت بر آلایش پوسته‌ای و عدم تعادل مذاب باقیمانده با فنوکریست‌های از قبل متبلور شده دارد که در بررسی‌های پتروگرافی نیز به آن اشاره شد.



شکل ۷. الگوی فراوانی عناصر ناسازگار بازالت‌های جواهردشت به‌هنجار شده با مقادیر مورب [۵]

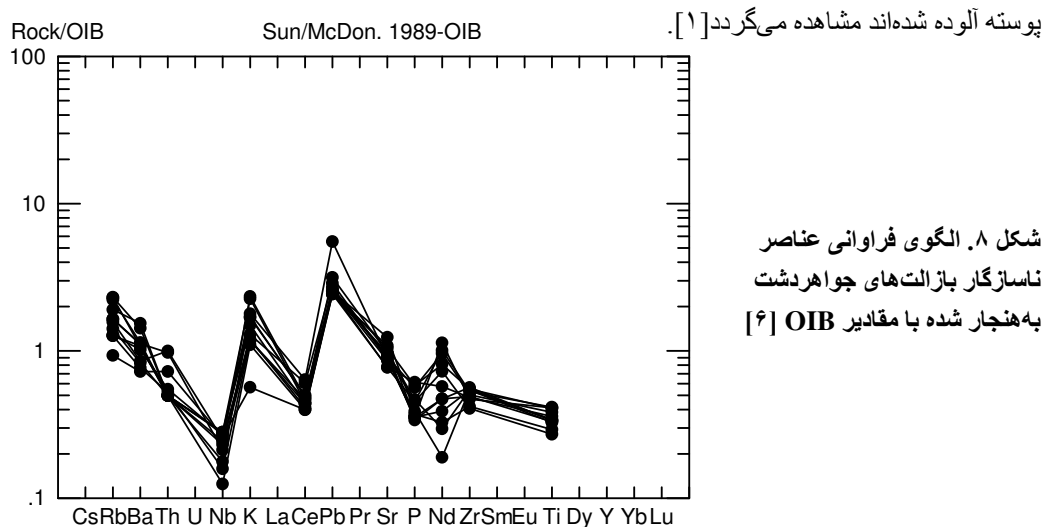
محتوای P_2O_5 در بازالت‌های جواهردشت اندک و به‌طور میانگین ۰/۲۷٪ است. یک آنومالی منفی P در تمامی نمودارهای چندعنصری نسبت به مراجعه‌گوشته‌ای و کندریتی به چشم می‌خورد. این مقادیر اندک TiO_2 و P_2O_5 قابل مقایسه با بازالت‌های طغیانی قاره‌ای (CFB) نوع LPT بوده است؛ یعنی همان بازالت‌هایی که بر اثر آلایش با مواد پوسته‌ای حاوی محتوی P_2O_5 بین ۰/۳٪ تا ۰/۱۵٪ و TiO_2 بین ۱/۷٪ تا ۰/۷٪ هستند [۱۶]، [۱۷]. از سوی دیگر، عناصر (LIL) در پوسته قاره‌ای متمرکزند و غلظت زیاد آن‌ها در سنگ‌های منطقه ممکن است نشان‌دهنده آلایش پوسته‌ای ماگمای تشکیل دهنده سنگ‌های منطقه باشد [۸].

به عقیده واتسون [۱۸] هنگام آغشتگی بازالت با پوسته قاره‌ای حتی در صورتی که بقیه عناصر بدون تغییر

باقی بمانند، مقدار چشمگیری پتاسیم به درون ماگمای بازالتی راه می‌یابد. این موضوع سبب ایجاد آنومالی مثبت در بازالت‌ها می‌شود. آنومالی مثبت Pb نیز می‌تواند ناشی از آلایش با مواد پوسته‌ای به دلیل تمرکز این عنصر در پوسته قاره‌ای اتفاق افتاده باشد؛ زیرا این عنصر برخلاف Nb به‌وسیله انتقال از محلول‌های فرورانشی سیستم‌های فرورانشی و فرآیندهای پوسته‌ساز و نیز مذاب‌های تولیدی به‌تدریج در پوسته غنی می‌شود [۲].

شکل ۸ الگوی فراوانی عناصر ناسازگار بازالت‌های جواهردشت که با مقادیر OIB (بازالت‌های جزایر اقیانوسی) [۶] به‌هم‌نگار شده‌اند، نشان داده شده است. این بازالت‌ها به وضوح الگوی پرفراز و نشیبی را نشان می‌دهند که مشخصه بسیاری از بازالت‌های طغیانی قاره‌ای و بازالت‌های تحولی ریفتی درون قاره‌ای بوده و ظاهراً این موضوع پیامد آلودگی این بازالت‌ها با پوسته قاره‌ای است [۱].

آلودگی پوسته‌ای بازالت‌های جواهر دشت باعث تغییر ترکیب شیمیایی اولیه این بازالت‌ها شده است. فقر Ti، Zr، Nb و غنی شدگی از K، Ba، Rb، Pb باعث شده است که این بازالت‌ها خصوصیات مناطق فرورانشی را به طور کاذب نشان دهند. این موضوع در بسیاری از بازالت‌ها درون صفحه‌ای قاره‌ای که با



اثبات آلایش پوسته‌ای از طریق مقایسه میانگین الگوی عناصر ناسازگار بازالت‌های

جواهردشت با مقادیر پوسته‌ای؛ مدارکی در اثبات نوع آلایش

تعیین این موضوع که بازالت‌های جواهردشت با کدام پوسته آلایش یافته‌اند در تفسیر توزیع ژئوشیمیایی

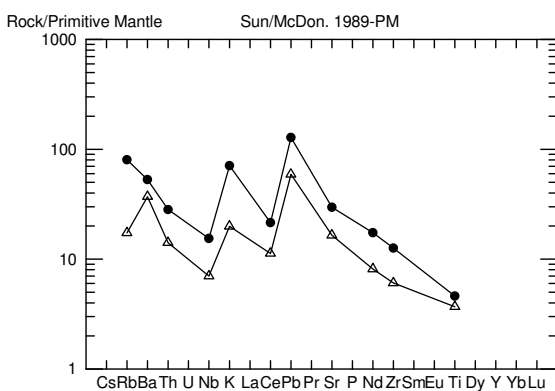
عناصر در این سنگ‌ها اهمیت بسیار دارد.

در این مبحث میانگین ترکیب شیمیایی بازالت‌های جواهردشت به‌منظور اثبات و نوع آلایش، با مقادیر پوسته

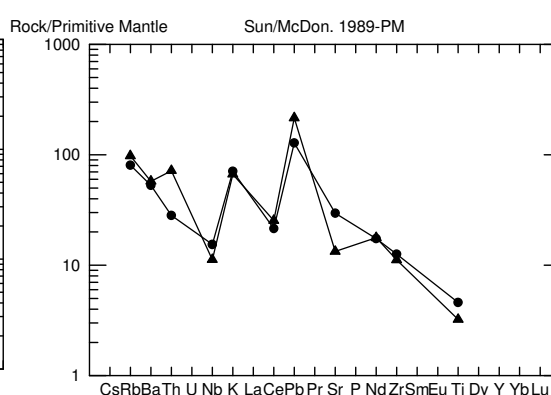
زیرین و میانی [۱۵] و پوسته فوقانی [۱۹] مقایسه شده‌اند:

شکل ۹ مقایسه‌ای بین الگوی میانگین عناصر ناسازگار بازالت‌های جواهر دشت با مقادیر پوسته زیرین که نسبت به گوشته اولیه [۶] به‌هنگار شده‌اند، نشان داده شده است. انطباق چشمگیر روند الگوی تمامی عناصر به‌غیر از Rb بین پوسته زیرین با رخساره گرانولیتی و سنگ‌های منطقه مشاهده می‌شود. این موضوع برآلایش گسترده بازالت‌های منطقه با سنگ‌های پوسته زیرین دلالت دارد.

شکل ۱۰ مقایسه الگوی میانگین عناصر ناسازگار بازالت‌های جواهر دشت با مقادیر پوسته میانی [۱۵] که نسبت به گوشته اولیه [۶] به‌هنگار شده‌اند، نشان داده شده است. بازهم‌آهنگی جالب توجهی بین عناصر پوسته میانی با رخساره آمفیبولیتی و سنگ‌های منطقه مشاهده می‌شود. مقدار Rb به مقدار پوسته میانی نزدیک است، اما محتوی Th کمتر و آنومالی منفی دارد. محتوی بیشتر Sr نسبت به پوسته میانی به دلیل محتوی زیاد Sr در پوسته زیرین (۳۴۸ppm) نسبت به پوسته میانی (۲۸ppm) و هم‌آن به همراه هضم پوسته میانی اتفاق افتاده است.

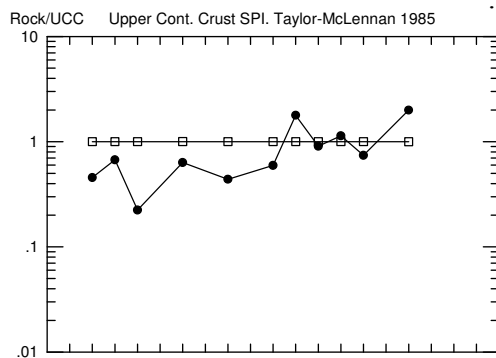


شکل ۹. مقایسه الگوی میانگین عناصر ناسازگار بازالت‌های جواهر دشت با مقادیر پوسته زیرین [۱۵]
 ● بازالت‌های جواهر دشت
 Δ پوسته زیرین



شکل ۱۰. مقایسه الگوی میانگین عناصر ناسازگار بازالت‌های جواهر دشت با مقادیر پوسته میانی [۱۵]
 ▲ پوسته میانی
 ● بازالت‌های جواهر دشت

شکل ۱۱ مقایسه الگوی میانگین نمونه‌های منطقه که با مقادیر پوسته فوقانی [۱۹] به‌هنگار شده‌اند، نشان داده شده است. اختلاف با روند پوسته فوقانی کاملاً مشخص است.



شکل ۱۱. مقایسه الگوی میانگین عناصر ناسازگار بازالت‌های جواهر دشت با مقادیر پوسته فوقانی [۱۹]

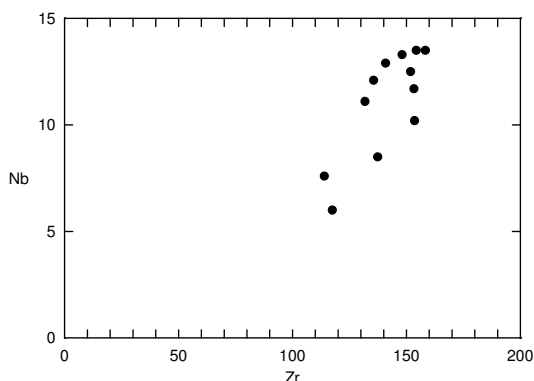
خلاصه روندهای مشابه و نشیب و فرازهای یکسان عناصر ناسازگار بازالت‌های منطقه جواهردشت با مقادیر پوسته‌ای، برهم کنشی ماگمای بازالتی منطقه را با پوسته‌ی قاره‌ای مدلل می‌سازد. الگوی دیاگرام‌های عناصر ناسازگار بازالت‌های جواهردشت و مقایسه آن با مقادیر پوسته‌ای نشان می‌دهد که نمونه‌ها نسبت به پوسته‌ی زیرین و میانی دارای تعادل عنصری شاخص‌تری بوده و در نتیجه با آن‌ها آلایش یافته‌اند. به‌ویژه که پوسته‌ی میانی با رخساره آمفیبولیتی به‌دلیل طبیعت زودگذرتر از پوسته‌ی زیرین از مساعدترین مکان‌ها برای آلودگی ماگماها به‌شمار می‌رود. ته‌شدگی در Th و اختلاف روندهای عنصری نسبت مقادیر پوسته‌ی بالای این نکته را نشان می‌دهد که آلودگی گسترده با سنگ‌های پوسته‌ی فوقانی صورت نگرفته است. با توجه به این‌که پوسته‌ی میانی منطقه‌ای بین ۱۰-۱۵ کیلومتری تا پوسته‌ی زیرین را شامل می‌شود [۱۵] به همین سبب، آلودگی پوسته‌ای این بازالت‌ها در اعماق پایین ۱۰-۱۵ کیلومتری روی داده است.

بررسی نسبت‌های عناصر کمیاب ناسازگار به‌عنوان معرف‌های ژئوشیمیایی آلایش پوسته‌ای

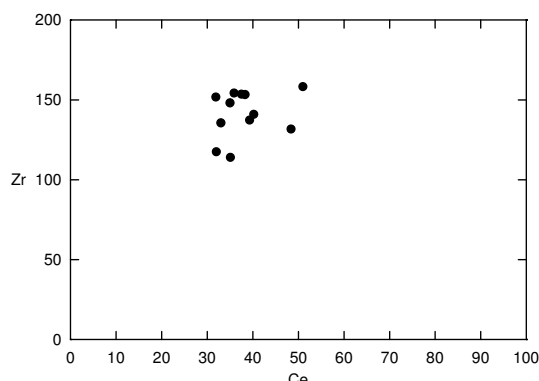
از نسبت‌های عناصر کمیاب ناسازگار در سیستم‌های بازالتی برای تمییز منابع گوشته‌ای و پوسته‌ای استفاده می‌شود [۲۰]. نسبت‌های عناصر (HFS) بسیار شاخصند؛ زیرا نسبت دو عنصر ناسازگار مشابه، بر اثر ذوب‌بخشی یک منبع گوشته‌ای ثابت می‌ماند و این نسبت در نتیجه درجه ذوب‌بخشی یک منبع نیز ثابت مانده و تغییر نمی‌کند. از سوی دیگر، در اثر تفریق، محتوی عناصر ناسازگار تغییر می‌کند، اما نسبت بین دو عنصر ناسازگار مشابه، در حین تفریق تغییری نمی‌کند [۲]. این موضوع تا زمانی صادق است که نمونه‌ها بدون آلودگی پوسته‌ای قرار داشته باشند؛ زیرا آلودگی پوسته‌ای می‌تواند نسبت عناصر کمیاب ناسازگار را تغییر دهد [۱]، [۲].

مشابه رفتار عناصر ناسازگار HFS عناصر LIL هم بسیار مهم هستند. این عناصر به‌ویژه K، Rb و Ba برای نمایش واکنش پوسته با ماگما مفید هستند؛ زیرا این عناصر در پوسته‌ی قاره‌ای تمرکز یافته و در مذاب‌های پوسته‌ای آناتکتیک بیش‌ترین تمرکز را نشان می‌دهند [۸]، [۲۱].

در شکل ۱۲ تغییرات Nb نسبت به Zr و در شکل ۱۳ تغییرات Zr نسبت به Ce نشان داده شده است. چنان‌که ملاحظه می‌شود نسبت عناصر ناسازگار Zr/Nb و Zr/Ce در نمونه‌ها ثابت نبوده و دامنه وسیعی از نسبت را نشان می‌دهد. این موضوع به‌دلیل آلایش پوسته‌ای است؛ زیرا تبلور تفریقی باعث ثابت ماندن نسبت غلظت دو عنصر ناسازگار می‌شود، ولی آلودگی پوسته‌ای منجر به تغییر نسبت بین آن‌ها در یک‌سری سنگی می‌شود [۱].



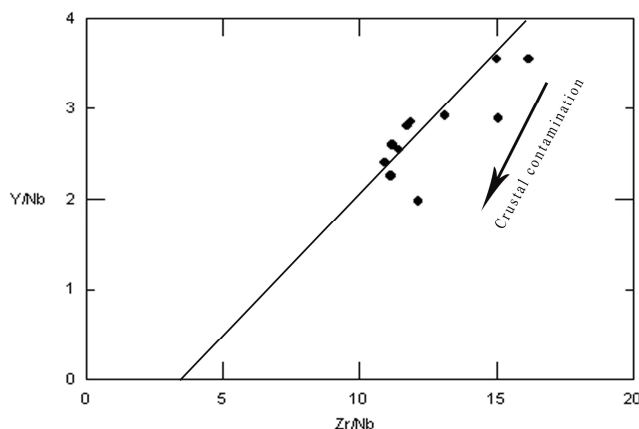
شکل ۱۲. نمودار تغییرات Nb نسبت به Zr برای بازالت‌های جواهردشت



شکل ۱۳. نمودار تغییرات Zr نسبت به Ce برای بازالت‌های جواهردشت

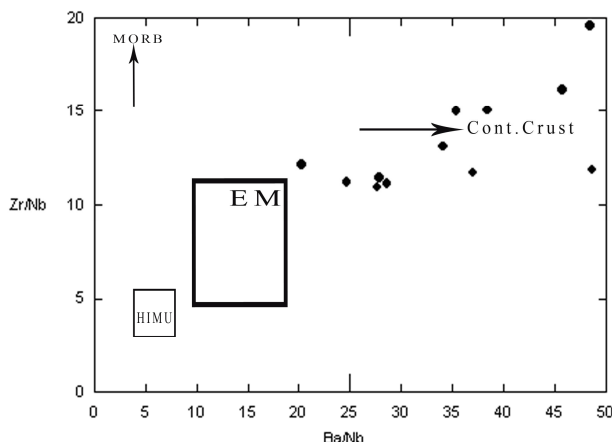
در شکل ۱۴ تغییرات Y/Nb در برابر Zr/Nb برای بازالت‌های جواهردشت نشان داده شده است. روند آلودگی پوسته‌ای از ویلسون [۱] اقتباس شده است. این روند دقیقاً مشابه روند بازالت‌های تحولی دشت آتشفشانی تائوس در ریفت ریوگراند است که آلایش پوسته‌ای را نشان می‌دهند [۲۲]. با افزایش آلایش پوسته‌ای هر دو

نسبت Zr/Nb و Y/Nb کاهش می‌یابد [۱].



شکل ۱۴. نمودار تغییرات Y/Nb در برابر Zr/Nb برای بازالت‌های جواهردشت روند آلودگی پوسته‌ای از ویلسون [۱] اقتباس شده است

نسبت Ba/Nb در بازالت‌های جواهردشت بالا و بین ۲۰ تا ۴۹ متغیر است. به عقیده رودنیک و گلدشتاین [۲۳] مقادیر فراوان Ba/Nb معمولاً در ماگماهای غنی شده گوشته لیتوسفر قاره‌ای و همچنین در سنگ‌ها پوسته زیرین دیده می‌شود. در شکل ۱۵ تغییرات Zr/Nb در برابر Ba/Nb برای بازالت‌های جواهردشت نشان داده شده است. روند پوسته‌ قاره‌ای و مقادیر گوشته EM (گوشته غنی شده) و HIMU و روند MORB از ویور [۲۰] اقتباس شده است. چنان که ملاحظه می‌شود نمونه‌ها به خوبی روند پوسته‌ قاره‌ای را تعقیب می‌کنند. این موضوع نقش پوسته را در تحولات بازالت‌های جواهردشت نشان می‌دهد.

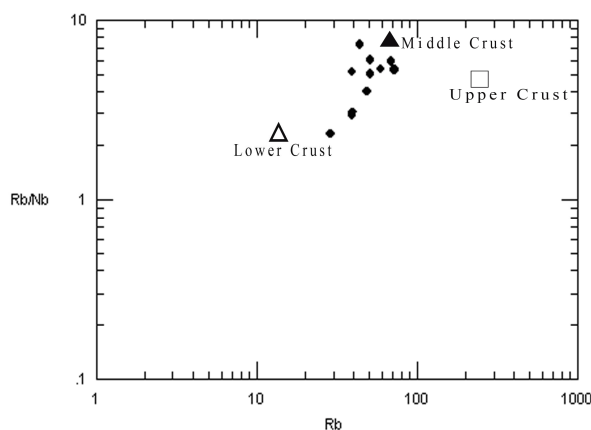


شکل ۱۵. نمودار تغییرات Zr/Nb در برابر Ba/Nb برابر بازالت‌های جواهردشت. روند پوسته‌قاره‌ای و مقادیر گوشته EM و HIMU و روند MORB از ویور [۲۰] اقتباس شده است

Ce و Pb به‌عنوان عناصر ناسازگار همسایه، به این معنا، به‌عنوان عناصری با رفتار ناسازگار نزدیک که دارای رفتارهای زمین‌شناسی مشابهی هستند، در نظر گرفته می‌شوند [۲]. نسبت Ce/Pb در MORB و OIB یعنی در بازالت‌های اقیانوسی نسبتاً بالا و تقریباً یک‌نواخت است و مقدار آن حدوداً 25 ± 5 است [۲۴]. در حالی‌که این نسبت در بازالت‌های جواهردشت در حدود $4/2$ بوده که این محتوی اندک Ce/Pb نشانه‌درگیر بودن ماگما با مواد پوسته‌ای است [۲۹].

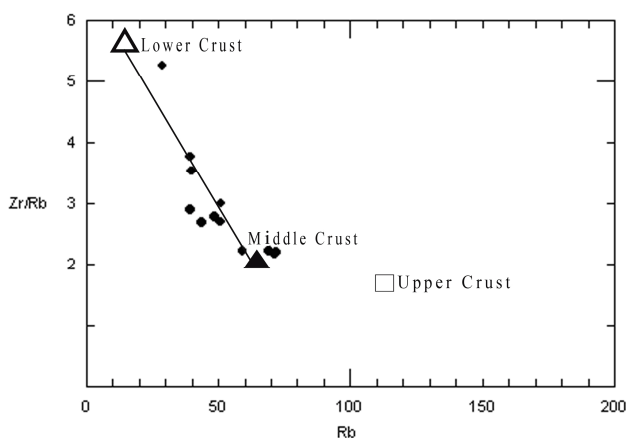
شاخصه مهم برای هضم و آلیش پوسته‌ای نسبت زیاد Pb/Nd است [۲۵]. این نسبت در بازالت‌های جواهردشت به‌طور میانگین $0/38$ است در حالی‌که در مورب نوع N حدوداً $0/04$ و در مورب P حدود $0/06$ و در OIB حدود $0/08$ است [۶]. این نسبت در پوسته‌زیرین $0/38$ در پوسته‌میانی حدود $0/36$ و در پوسته‌فوقانی $0/73$ است. این موضوع آغشتگی سنگ‌ها با پوسته‌زیرین و میانی را به خوبی نشان می‌دهد.

در شکل ۱۶ در نمودار لگاریتمی Rb/Nb در برابر Rb از پیرس و همکاران [۲۶] که درجه واکنش پوسته در برابر ماگمای گوشته‌ای را نشان می‌دهد، نمونه‌ها روندی از پوسته‌زیرین به طرف پوسته‌میانی را نشان داده و در محدوده پوسته‌میانی تمرکز نشان می‌دهند.



شکل ۱۶. نمودار لگاریتمی تغییرات Rb/Nb در برابر Rb از پیرس و همکاران [۲۶]. مقادیر میانگین پوسته‌زیرین و میانی از رودنیک و فونتین [۱۵] و پوسته‌بالایی از تیلور و مک‌لن [۱۹] اقتباس شده است

در شکل ۱۷ در نمودار Zr/Rb در برابر Rb از آسکرن و همکاران [۲۷] که به منظور تعیین فرآیند AFC (تفریق و هضم) با پوسته ترسیم شده، نمونه‌ها به وضوح روندی از پوسته زیرین به طرف پوسته میانی همگام با افزایش Rb نشان می‌دهند. خلاصه آن که بررسی نسبت‌های عناصر کم‌یاب ناسازگار نشان می‌دهد که بازالت‌های جواهردشت با سنگ‌های پوسته زیرین و میانی آلایش یافته‌اند.

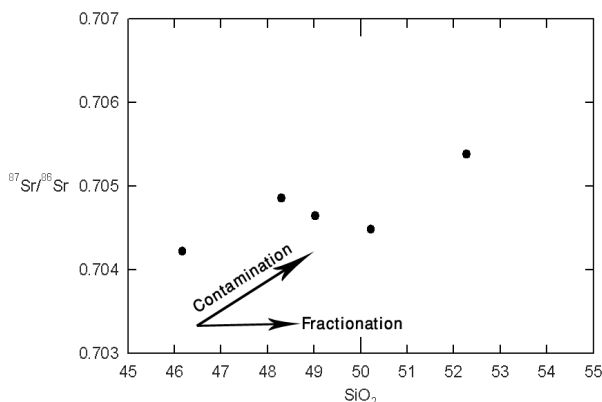


شکل ۱۷. نمودار نیمه لگاریتمی تغییرات Zr/Rb در برابر Rb از آسکرن و همکاران [۲۷]. مقادیر میانگین پوسته زیرین و میانی از رودنیک و فونتین [۱۵] و پوسته بالایی از تیلور و مک للان [۱۹] اقتباس شده است

شواهد ایزوتوپی آلایش پوسته‌ای

با بررسی علائم ایزوتوپی و ژئوشیمیایی، پذیرش اجزای غنی شده مثل پوسته قاره‌ای با ماگمای بازالتی شناسایی می‌شود. پژوهش‌های ایزوتوپی Nd-Sr بالقوه ردیاب قوی برای آلایش ماگماها به وسیله پوسته قاره‌ای فراهم می‌آورد [۱].

در نمودار تغییرات $^{87}\text{Sr}/^{86}\text{Sr}$ در برابر SiO_2 (شکل ۱۸) روندهای تفریق و آلایش مشخص شده‌اند. به وضوح بازالت‌های جواهردشت روند آلایش پوسته‌ای را تعقیب می‌کنند؛ به نحوی که نمونه J-B-8 با بالاترین درصد $\text{SiO}_2 = 52/28\%$ دارای بالاترین نسبت $^{87}\text{Sr}/^{86}\text{Sr} = 0.705387$ بوده و نمونه J-B-4 با کمترین درصد $\text{SiO}_2 = 45/17\%$ دارای کمترین میزان $^{87}\text{Sr}/^{86}\text{Sr} = 0.704205$ است. اگر فقط فرآیند تفریق باعث تحول سنگ‌شناسی نمونه‌ها باشد، باید با افزایش ضریب تفریق، نسبت $^{87}\text{Sr}/^{86}\text{Sr}$ ثابت بماند. همبستگی مثبت SiO_2 با نسبت $^{87}\text{Sr}/^{86}\text{Sr}$ انعکاس از فرآیند آلایش پوسته‌ای است [۲۱].



شکل ۱۸. نمودار تغییرات $^{87}\text{Sr}/^{86}\text{Sr}$ در برابر SiO_2 برای بازالت‌های جواهردشت. روند تفریق و آلایش از ویلسون و کایزر [۱، ۲۱] اقتباس شده است

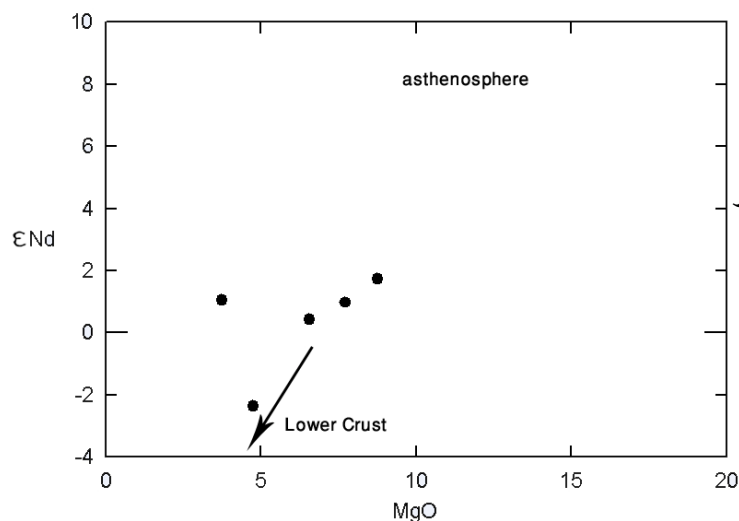
یک راه نشان دادن نسبت‌های ایزوتوپی، نماداپسیلون (ϵ) است که مقدار آن اندازه انحراف یک نمونه یا مجموعه‌ای از نمونه‌ها، از مقدار مورد انتظار در یک منبع یک‌نواخت اولیه است [۲۸]. مقادیر محاسبه شده پارامترهای ϵSr و ϵNd به روش دپانولو و واسربرگ [۲۸] در جدول ۳ نشان داده شده است. مقادیر ϵNd منفی نشانه یک ناحیه گوشته‌ای غنی شده و یا یک منشأ پوسته‌ای است و مقادیر مثبت آن نشان‌گر گوشته‌تهی شده است [۸]. ویژگی سنگ‌های پوسته زیاد بودن نسبت ϵSr و کم بودن ϵNd نسبت به مقادیر تعیین شده جهت کل زمین است [۱].

جدول ۳. مقادیر محاسبه شده پارامترهای ϵNd و ϵSr برای بازالت‌های جواهردشت به روش دپانولو و واسربرگ [۲۸]

Sample	ϵNd	ϵSr
J-B-2	0/429	-0/256
J-B-3	1/053	2/1
J-B-4	1/736	-3/9
J-B-8	-2/361	12/59
J-B-25	0/975	5/05

در شکل ۱۹ تغییرات ϵNd در برابر MgO برای بازالت‌های جواهردشت نشان داده شده است (اقتباس از یونگ [۲]). نمونه‌ها به خوبی روند پوسته تحتانی را نشان می‌دهد. همبستگی مثبت ϵNd با MgO انعکاسی از آلایش پوسته‌ای است [۲۹].

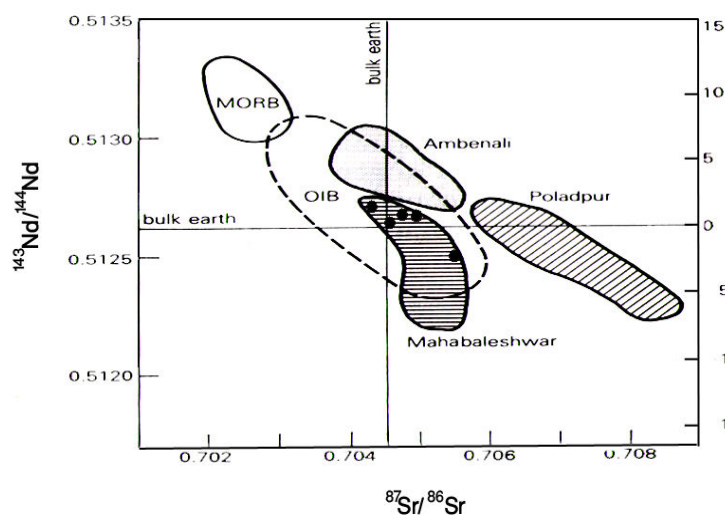
از شاخصه $\text{K}_2\text{O}/\text{P}_2\text{O}_5$ برای آلایش پوسته‌ای ماگمای بازالتی استفاده می‌شود [۳۰]، [۳۱]. بازه نرمال برای ماگماهای غیرآلایش یافته با پوسته قاره‌ای بین ۰-۷ است [۳۲]. البته اغلب ماگماهای بازالتی نشأت گرفته از گوشته دارای نسبت $\text{K}_2\text{O}/\text{P}_2\text{O}_5 \leq 2$ هستند. هضم پوسته و یا تفریق آپاتیت سبب افزایش نسبت مزبور شده و این موضوع در بازالت‌های رودخانه کلمبیا مشاهده شده است [۳۰].



شکل ۱۹. نمودار تغییرات ϵ_{Nd} در برابر MgO برای بازالت‌های جواهردشت. مقادیر استنوسفر و روند پوسته تحتانی از یونگ [۲] اقتباس شده است

نسبت K_2O/P_2O_5 در بازالت‌های جواهردشت بین ۷ تا ۱۱/۷۷ متغیر است. آن‌هایی را که دارای بیشترین نسبت K_2O/P_2O_5 هستند، دارای بیشترین نسبت $^{87}Sr/^{86}Sr$ است (به‌عنوان مثال نمونه JB8) در حالی‌که نمونه‌ای که دارای کمترین نسبت $^{87}Sr/^{86}Sr$ است دارای کمترین نسبت K_2O/P_2O_5 است (نمونه JB4) که این موضوع دلالت بر آلایش پوسته‌های دارد [۳۰].

در شکل ۲۰ داده‌های ایزوتوپی Nd-Sr بازالت‌های طغیانی قاره‌ای و تولنییتی تراپ دکن در منطقه مه‌بالشوار به منظور مقایسه با بازالت‌های جواهردشت نشان داده شده است. بازالت‌های جواهردشت روندی خطی مشابه بازالت‌های تراپ دکن در منطقه مه‌بالشوار نشان می‌دهند. بازالت‌های مه‌بالشوار روندی را نشان می‌دهند که بازتاب آلودگی با پوسته زیرین است [۱]. روند منفی قرارگیری ایزوتوپ‌های Nd-Sr، معمولاً به هضم رخساره گرانولیتی پوسته زیرین استناد می‌شود [۳۳].



شکل ۲۰. موقعیت بازالت‌های جواهردشت در نمودار همبستگی ایزوتوپی Nd-Sr به‌منظور مقایسه با بازالت‌های طغیانی قاره‌ای منطقه مه‌بالشوار واقع در تراپ دکن [۱]

نتیجه‌گیری

بررسی‌های پتروگرافیک و علائم ژئوشیمیایی و ایزوتوپی بازالت‌های جواهردشت نشان می‌دهد که این بازالت‌ها با پوسته قاره‌ای آلایش پیدا کرده‌اند. بررسی‌های ژئوشیمیایی نشان می‌دهد که بازالت‌های جواهردشت دارای تعادل عنصری بسیار شاخصی با پوسته زیرین و میانی بوده و با آن‌ها آلایش یافته‌اند. بر اثر برهم‌کنش ماگماهای اولیه نشأت گرفته از گوشته با مواد پوسته‌ای در طی صعود ترکیب اولیه ماگمای این سنگ‌ها از نظر ژئوشیمیایی تعدیل و تغییر یافته است؛ به نحوی که بر اثر همین تغییرات مثلاً سیمای مناطق فرورانشی را به طور کاذب نشان می‌دهند. با توجه به تغییرات نسبت‌های ژئوشیمیایی ایجاد شده بر اثر آلایش در ماگمای اولیه و الدبازالت‌های جواهردشت، باید در استفاده از عناصر ناسازگار و نسبت‌های آن‌ها و نسبت‌های ایزوتوپی برای تشخیص ماهیت پروتولیت این سنگ‌ها کاملاً احتیاط را رعایت کرد.

تشکر و قدردانی

این پژوهش حاصل طرح تحقیقاتی با عنوان «پتروگرافی و ژئوشیمی بازالت‌های جواهردشت» بوده است که با حمایت مالی معاونت محترم پژوهشی دانشگاه آزاد اسلامی واحد لاهیجان انجام شده است. بدین وسیله از همکاری آن معاونت قدردانی می‌شود. همچنین از راهنمایی‌های ارزشمند جناب دکتر منصور وثوقی عابدینی برای توصیه‌های علمی ایشان و جناب دکتر Brian L. Cousens از دانشگاه کارلتون کانادا برای همکاری و انجام آزمایش‌ها ایزوتوپی تشکر و قدردانی می‌شود.

منابع

1. M. Wilson, Igneous petrogenesis-A global tectonic approach, Unwin Hyman London (1989) 466.
2. C. Jung, Geochemische und Isotopen-geochemische untersuchungen an tertiareren vulkaniten der Hocheifel-ein beitrag zur identifizierung der mantelquellen von Rift-bezogenen vulkaniten, Dissertation zur Erlangung des doktorgrades Naturwissenschaften dem, vorgelegt fachbereich Geowissenschaften der Philipps-Universitaet Marburg (2003).
3. بهار فیروزی، خ. و شافعی، ع. ر.، نقشه زمین‌شناسی ۱:۱۰۰۰۰۰ جواهرده، سازمان زمین‌شناسی و اکتشافات معدنی کشور (۱۳۸۲).

4. R.N. Thompson, Magmatism of the British Tertiary Volcanic province, *Scott. J. Geol.* 18 (1982) 49-107.
5. J.A. Pearce, Role of sub-continental lithosphere in magma genesis at active continental margins, In: Hawkesworth, C.I. and M.J. Norry (eds) *continental Basalts and mantle xenoliths*, Shiva Nantwich (1983) 230-249.
6. S.S. Sun and W.F. McDonough, Magmatism in the oceanic Basalts, [A.D. saunders and M. J. Norry, Herausgeber], *Geol. Soc. Special. Pub* 42 (1989) 313-345.
7. K.G. Cox and C.J. Hawkesworth, Geochemical stratigraphy of the Decan Traps, at Mahabaleshwar, Western Ghats, India, with implication for open system magmatic processes, *J. Petrol.* 26(1985) 355-377.
8. H.R. Rollinson, *Using Geochemical Data: Evolution, Presentation, Interpretation*, Longman Scientific and Technical, England (1993) 352.
9. A.M. Hofmann, Mantle geochemistry: The message from oceanic volcanism, *Nature*, 385 (1997) 219-229.
10. J.A. Pearce and D.W. Peat, Tectonic implications of the composition of volcanic arc magmas. -*Annu. Rev. Earth Planet. Sci.* 23 (1995) 251-285.
11. P. Ulmer, partial melting in the mantle wedge-the role of H₂O in the genesis of mantle-derived "arc-related" magmas. *Physics of the Earth and Planetary Interiors*, 127(2001) 215-232.
12. J.A. pearce, Trace element characteristics of lavas from destructive plate boundaries, in: Thrope, R.S. (ed) *Andsites*, Wiley, Chichester (1982) 528-548.
13. M. Ballever, E. LeGoff and R. Hebet, The tectothermal evolution of the Caledonian belt of Northern Brittany, France: A Neoproterozoic volcanic arc. *Tectonophysics*. 331(2001) 19-43.
14. R.N. Thompson, M.P. Morrison, A.P. Dickin and G.L. Hendry, Continental flood basalts and mantle xenoliths in: C.J. Hawkesworth & M.J. Norry (eds), *Nantwich Shiva* (1983) 158-185.
15. R.L. Rudnick and D.M. Fountain, Nature and composition of the continental crust : a lower crustal perspective, *Rev. Geophys.* 33 (1995) 267-309.
16. R.V. Fodor, Low and high-TiO₂ flood basalts of Southern Brazil: Origin from picritic parentage and a common mantle source. *Earth Planet. Sci. Lett.* 84(1987) 423-430.

17. G. Bellieni, P. Brotzo, P. Comin-chiaramonti, M. Ernesto, A. Melfi, I.G. Pacca and E.M. Piccirillo, Flood basalt to rhyolite suites in southern Prana plateau (Brazil): paleomagnetism, petrogenesis and geodynamic implications, *J. Petrol*, 25 (1984) 579-618.
18. E.B. Watson, Basalt contamination by continental crust: some experiments and models, *Contrib. Mineral. Petrol.* 80 (1982) 73-87.
19. S.R. Taylor and S. M. McLennan, *The continental crust: its composition and evolution*, Blackwell Sci. Pub. Oxford (1985) 312.
20. B.L. Weaver, Trace element evidence for the origin of ocean-island basalts, *Geology*, 19 (1991) 123-126.
21. C. Kaiser, Multi-component evolution, age and plate-tectonic setting of high-Mg Lamprophyric dikes and small gabbroic intrusions on Isla Margarita (Venezuela) Ruhr universitaet Bochum (1997) 174.
22. M.A. Dungan, M.M. Lindstrom, N.J. McMilian, S. Moorbath, J. Hoefs and L.A. Haskin, Open system magmatic evolution of the Taos plateau volcanic field, Northern of the New Mexico In: *The petrology and geochemistry of the Sevilleta basalt*, *J. Geophys. Res.* 91(1986) 5999-6028.
23. R.L. Rudnick and S.L. Goldstein, The Pb isotopic composition of lower crust xenoliths and the evolution of lower crustal Pb. *Earth Planet. Sci. Lett.* 98 (1990) 192-207.
24. A. W. Hofmann, K. P. Jochom, M. Seufert and W. M. White, Nb and Pb in oceanic basalts, new constraints on mantle evolution. *Earth. Sci. Lett.* 90(1986) 297-314.
25. M.S. Krienitz, K.M. Haase, K. Mezger, V. Eckardt and M.A. Shaikh-Mashail, Magma genesis and crustal contamination of continental intraplate lavas in northwestern Syria. *Contrib. Mineral. petrol.* 151 (2006) 698-716.
26. J.A. Pearce, J.F. Bender, S.E. Delong, W.S.F. Kidd, P. J. Low, Y. Guner, F. Saroglee, Y. Yilmaz, Genesis of collisional volcanism in eastern Anatolia, Turkey, *J. Volc. Geotherm. Res.* 44 (1990) 189-229.
27. D.R. Askren, M.F. Roden and J.A. Witmey, Petrogenesis of tertiary Andesite lava flows interlayered with large-volume felsic Ash-Flow Tuffs of western USA, *J. Petrology*, 38(1997) 1021- 1046.

28. D.J. DePaolo and G.J. Wasserberg, Nd isotopes in flood basalts from the siberian platform and inferences about their mantle sources. proceeding of National Academy of Science, USA, 76 (1979) 3056-3060.
29. S. Jung, The role of crustal contamination during the evolution of continental rift -related Basalts. A case study from the Vogelsberg area (central Germany), GEOLiNES (praha)9 (1999) 48-58.
30. R.W. Carlson and W.K. Hart, Flood basalt volcanism in the northwestern United States. in: continental basalts, J.D. McDougall (ed). kluwer Academic Pub. (1988)273-310.
31. S.R. Hart and H. Staudigel, Isotopic characterization and identification of recycled components. Crust-mantle recycling at convergence zones. S.R. Hart and L. Gulen (ed), kluwer Academic Pub. (1989) 15-28.
32. A. Rouff, Geochemical and mineralogical analysis of the Comerford intrusive complex, East Barnett, Northeastern vermont. Unpublished seniorthesis, Middlebury College, Middlebury (1998) 63.
33. S. Bernstein, P.B. Kelemen, C. Tegner, M. D. Kurz, J. Blusztajn and C. Kent Brooks, Post-breakup basaltic magmatism along the East Greenland Tertiary rifted margin. Earth. planet. Sci. Letters. 160(1998)845-862